

اثر تزریق داخل هیپوکامپی هیستامین و تیوپرامید بر درد تونیک ناحیه دهانی - صورتی در موش صحرایی

امیر عرفان پرست^۱، اسماعیل تمدن فرد^{۲*}، امیر عباس فرشید^۳، عmad خلیل زاده^۴، صونا سید نژاد^۵

تاریخ دریافت ۹۰/۰۲/۱۲ تاریخ پذیرش ۹۰/۰۳/۱۲

چکیده

پیش زمینه و هدف: هیستامین مغزی از طریق گیرنده‌های H₃ نقش مهمی را در دریافت مرکزی درد بازی می‌کند. در این مطالعه اثر تزریق داخل هیپوکامپی هیستامین و تیوپرامید (آنتاگونیست گیرنده H₃ هیستامین) بر درد تونیک ناحیه دهانی - صورتی در موش‌های صحرایی بررسی شد.

مواد و روش کار: در تعداد ۷۲ سر موش صحرایی کانول‌های راهنمای به صورت دوطرفه در داخل هیپوکامپ پشتی قرارداده شدند. درد تونیک ناحیه دهانی - صورتی با تزریق زیرجلدی ۵۰ میکرولیتر از فرمالین ادرصد در کنارستم راست لب بالا ایجاد و مدت زمان مالیدن ناحیه تزریق شده در فواصل زمانی ۳ دقیقه‌ای برای ۴۵ دقیقه ثبت شد.

یافته‌ها: تزریق زیرجلدی فرمالین در لب بالا موجب ایجاد پاسخ درد دو مرحله‌ای (مرحله اول: دقایق صفر تا ۳ و مرحله دوم: دقایق ۱۵ تا ۳۳) شد. شدت درد در مراحل اول و دوم درد با تزریق داخل هیپوکامپی هیستامین (۱۰ میکروگرم، ۵/۰ میکرولیتردر هر سمت) و تیوپرامید (۵/۰ میکروگرم، ۵/۰ میکرولیتردر هر سمت) به طور معنی‌دار (۰/۰۵ < p) کاهش یافت. پیش تزریق تیوپرامید قبل از هیستامین موجب افزایش اثر کاهش دهنده هیستامین بر درد شد.

بحث و نتیجه گیری: نتایج نشان دادند که تزریق هیستامین و تیوپرامید به داخل هیپوکامپ پشتی شدت مراحل اول و دوم درد تونیک ناحیه دهانی - صورتی را تضعیف نمود. مهار گیرنده H₃ هیستامین با تیوپرامید اثر کاهش دهنده هیستامین بر درد را افزایش داد.

کلید واژه‌ها: هیپوکامپ، هیستامین، تیوپرامید، درد تونیک، ناحیه دهانی - صورتی، موش صحرایی

مجله پژوهشی ارومیه، دوره بیست و دوم، شماره سوم، ص ۲۲۲-۲۱۲، مرداد و شهریور ۱۳۹۰

آدرس مکاتبه: ارومیه، جاده سرو، پردیس نازلو، دانشکده دامپزشکی، گروه علوم پایه، تلفن: ۰۹۱۴۳۴۹۱۴۹۸

Email: e_tamaddonfard@yahoo.com

مقدمه

داده است (۴). همچنین تزریق داخل هیپوکامپی استیل کولین و پیلوکارپین^۶: آگونیست‌های سیستم کولینرژیک موجب کاهش و افزایش فعالیت الکتریکی به ترتیب در نورون‌های تحریک کننده و مهار کننده درد شده است (۵). به‌غیر از سیستم‌های گلوتاماترژیک و کولینرژیک، سایر میانجی‌های عصبی در مغز مثل اپیوئیدها و GABA نیز در پردازش درد به وسیله هیپوکامپ نقش دارند (۶).

هیپوکامپ بخش مهمی از مغز است که در تنظیم مغزی اعمالی مثل پاسخ به استرس، اخذ غذا، وزن بدن، یادگیری و حافظه نقش به سزاگی دارد (۱-۳). مطالعات رفتاری و الکتروفیزیولوژیک مشخص کردند که هیپوکامپ در دریافت MK801 مرکزی درد نیز دخالت می‌کند. در همین رابطه، تزریق (آنتاگونیست رقابتی گیرنده NMDA) به داخل هیپوکامپ پشتی شدت مرحله دوم درد ناشی از تزریق کف‌پایی فرمالین را کاهش

^۱ دستیار تخصصی فیزیولوژی دامپزشکی، دانشکده دامپزشکی، دانشگاه ارومیه

^۲ دانشیار گروه علوم پایه، دانشکده دامپزشکی، دانشگاه ارومیه (نویسنده مسئول)

^۳ دانشیار گروه پاتوفیزیولوژی، دانشکده دامپزشکی دانشگاه ارومیه

^۴ دستیار تخصصی فیزیولوژی دامپزشکی، دانشکده دامپزشکی، دانشگاه ارومیه

^۵ کارشناس آزمایشگاه فیزیولوژی، دانشکده دامپزشکی دانشگاه ارومیه

^۶ pilocarpine and acetylcholine

برای بررسی نقش مغز در درد ناحیه صورتی - دهانی مورد استفاده قرار گرفته است (۱۸-۲۰).

مواد و روش کار

۱- حیوانات

در این مطالعه از تعداد ۷۲ سرموش صحرایی نر نژاد ویستار با وزن بین ۳۵۰-۳۰۰ گرم استفاده شد. موش‌ها در اتاق پرورش و نگهداری موش‌های صحرایی وابسته به آزمایشگاه فیزیولوژی به تعداد شش سر در هر قفس (به ابعاد $55 \times 40 \times 30$ سانتی متر) با دسترسی آزادانه به آب و غذا و دمای محیط ۲۱-۲۳ درجه سانتی گراد و چرخه روشنایی - تاریکی ۱۲ ساعت (شروع روشنایی ساعت ۷ و شروع تاریکی ساعت ۱۹) نگهداری شدند. قبل از شروع آزمایشات و در طول دوره سازگاری، موش‌ها به مدت ۴ روز با شرایط کار به ویژه مقید کردن آشنا شدند. در هر آزمایش از تعداد شش سر موش استفاده شد. همه آزمایش‌ها بین ساعات ۱۱ تا ۱۵ انجام شدند.

۲- محلول‌های دارویی

در این مطالعه از پودرهای هیستامین دی‌هیدروکلرايد و تیوپرامید مالثات، تهیه شده از شرکت دارویی سیگما - آلدریج آمریکا، استفاده شد. محلول فرمالین ۱درصد از محلول فرمالین ۳/۷ درصد شرکت دارویی مرک آلمان تهیه شد. برای تهیه و رفیق نمودن محلول‌های دارویی از سالین نرمال استریل استفاده شد. محلول‌های دارویی نیم ساعت قبل از تزریقات داخل هیپوکامپ تهیه شدند.

۳- روش کانول گذاری در هیپوکامپ پشتی

به منظور تزریق داخل هیپوکامپ محلول‌های دارویی، در هر حیوان دو عدد کانول راهنما به طور دوطرفه به ترتیب در هیپوکامپ پشتی راست و چپ قرار داده شدند. برای کاشتن کانول‌ها، هر کدام از موش‌ها با تزریق داخل صفاقی مخلوطی از کتامین (۱۰ mg/kg) و گزیلازین (۸۰ mg/kg) بیهوش و سر حیوان با قراردادن میله‌های گوش در داخل کانال خارجی گوش، میله دهانی در بین دندان‌های پیشین و میله بینی بر روی بینی در داخل دستگاه استرئوتاکسی (Stoelting, Wood Lane, IL, USA) ثابت شد. برای ایجاد سطح موازی بین سر و نوک بینی،

هیستامین مغزی از طریق گیرنده‌های پس سیناپسی H_1 و H_2 و پیش سیناپسی H_3 در تنظیم مغزی بسیاری از اعمال فیزیولوژیک بدن از جمله اخذ غذا، اخذ آب، درجه حرارت بدن، اعمال قلبی - عروقی، پاسخ‌های استرس، تهییج مغز، یادگیری و حافظه و پذیرش مرکزی درد دخالت می‌کند (۲۸). در اتباط با نقش هیستامین مغزی و گیرنده‌های آن در درد، مشخص شده است که تزریق همزمان تملastin^۱ یا tiotidine^۲ با هیستامین به داخل هسته‌های مغزی کنترل کننده درد مثل ناحیه خاکستری اطراف قنات سیلوپوس و هسته رافه از اثر کاهش دهنده درد هیستامین جلوگیری می‌کنند (۹). در مدل درد تریمینال حاد موش‌های صحرایی، تزریق ranitidine^۳ قبل از هیستامین به داخل بطن جانبی مغز، از اثر کاهش درد ناشی از هیستامین جلوگیری کرد، در حالی که کلوفنیرامین^۴ آن را مهار نکرد (۱۰). تزریق داخل بطنی مغزی تیوپرامید^۵ و ار-آلfa متیل هیستامین^۶ به ترتیب موجب کاهش و افزایش درد شده‌اند (۱۱).

اندام‌های صورت و دهان شامل پوست و عضلات صورت، دندان‌ها، زبان، لب‌ها، مفصل گیجگاهی - فکی می‌توانند منشاء بسیاری از دردهای حاد، مزمن و رجوعی مثل اختلالات مفصل گیجگاهی - فکی، دردهای دندانی و درد نوروپاتیک تری ژمو باشد (۱۲-۱۴). این اعضا اطلاعات حسی از جمله درد را به طور عمده از طریق عصب سه قلو (تری ژمو) به نواحی و هسته‌های نخاع و مغز شامل هسته حسی تریمینال، هسته دستجات منزوی، ناحیه خاکستری دور قنات سیلوپوس، تalamos، هیپوکامپ، استریاتوم و قشرمغز منتقل می‌کنند (۱۲-۱۴). در ارتباط با نقش هیپوکامپ در دریافت دردهای ناحیه دهانی - صورتی مشخص شده است که تحریک الکتریکی هیپوکامپ، فعالیت الکتریکی عضله دوبطنی را در هنگام تحریک پولپ دندانی کاهش می‌دهد (۱۵).

تا به حال گزارشی مبنی بر نقش گیرنده‌های H_3 هیستامین در هیپوکامپ در پذیرش درد ارائه نشده است؛ لذا در مطالعه حاضر اثر تزریق داخل هیپوکامپی هیستامین و تیوپرامید بر درد تونیک حاصل از تزریق زیر جلدی فرمالین در ناحیه لب بالا برسی شده است. درد تونیک ناحیه دهانی - صورتی در موش صحرایی به وسیله Clavelou و همکاران (۱۶، ۱۷) معرفی و تکمیل شده و

^۱: آناتاگونیست temelastine H_1

^۲: آناتاگونیست گیرنده H_2

^۳: آناتاگونیست ranitidine H_2

^۴: آناتاگونیست chlorpheniramine H_1

^۵: آناتاگونیست thioperamide H_3 هیستامین

^۶: آناتاگونیست گیرنده H_3 هیستامین

برای ایجاد درد در ناحیه دهانی - صورتی، ابتدا موش‌ها در داخل جعبه‌هایی از جنس شیشه نشکن (شرکت حصارک رازی راد، تهران) به ابعاد $25 \times 25 \times 25$ سانتی‌متر قرارداده شدند. جعبه‌ها بر روی یک چهارچوب‌هایی از جنس شیشه نشکن و دارای یک آینه با زاویه 45° درجه گذاشته شدند. نیم ساعت پس از سازگاری، حیوان به آرامی مقید و فرمالین با غلظت ۱ درصد به حجم ۵۰ میکرولیتر با استفاده از سر سوزن تزریقی شماره ۳۰ در زیر پوست سمت راست لب بالا تزریق شد. بالاصله پس از تزریق حیوان به داخل جعبه برگردانده شد و پاسخ حیوان شامل مالیدن ناحیه تزریق شده با اندام حرکتی قدیمی همان سمت در فواصل زمانی سه دقیقه‌ای برای مدت 45° دقیقه ثبت شد. با توجه به این که تزریق زیر جلدی فرمالین در غلظت‌های بین $10/2$ تا 10 درصد در نواحی مختلف دهان و صورت شامل زبان، لب بالا، بالشتک سبیل یک درد دو مرحله‌ای مشخص ایجاد می‌کند (۱۷، ۲۴)، لذا در مطالعه حاضر رفتار حیوان در فواصل زمانی صفر تا 3° دقیقه و 15 تا 33° دقیقه به ترتیب به عنوان مراحل اول و دوم در درنظر گرفته شد (۱۷، ۲۵).

۶- روش تعیین صحت محل کانول‌ها در هیپوکامپ در یک تجربه اولیه در تعداد 10 سر موش صحرایی، پس از قراردادن کانول‌ها در داخل هیپوکامپ، محلول رنگی متیلن بلو به حجم $0/0\cdot25$ تا 1 میکرولیتر در داخل هردو هیپوکامپ راست و چپ تزریق شد. مغزها بیرون آورده شده و در داخل فرمالین 10 درصد انداخته شدند. سه روز بعد، از مغزها برش‌های عرضی از یک میلی‌متری قدم تا یک میلی‌متری خلف سوراخ‌های کانول‌های راهنمای راهنمای با ضخامت 50 تا 100 میکرومتر تهیه و در زیر لوب آزمایشگاهی وجود جوهر در هیپوکامپ بررسی و با مقاطع مغزی اطلس مغز موش صحرایی (Paxinos and Watson ۲۱) مقایسه شدند. در تعداد 9 سر موش کانول‌ها در محل درست (در داخل هیپوکامپ) قرار داشتند. در مطالعه اصلی، پس از پایان هر آزمایش بررسی صحت کانول‌ها در داخل هیپوکامپ با روش مذکور ولی با تزریق متیلن بلو به حجم $0/25$ میکرولیتر انجام شد. داده‌های مربوط به قرار نگرفتن صحیح کانول‌ها در هیپوکامپ از تجزیه و تحلیل آماری حذف شدند.

۷- روش تجزیه و تحلیل آماری

داده‌های حاصل از تزریق زیر جلدی سالین نرمال (کنترل) و فرمالین در ناحیه لب بالا با روش آماری آنالیز واریانس (ANOVA) عاملی وسیس آزمون دانکن و داده‌های حاصل از تزریق داخل هیپوکامپی سالین نرمال (کنترل) و محلول‌های دارویی با روش آماری آنالیز واریانس (ANOVA) یک طرفه و

درجه میله دندانی در بین صفر تا 5 درجه قرار داده شد. شکافی به طول دو سانتی‌متر از وسط خط فرضی بین زوایای خلفی چشم‌ها به طرف عقب سر داده شد. پوست از بافت‌های همبند زیر آن جدا و ناحیه جراحی با متصل کردن شش عدد قلاب به لبه‌های پوست گشاد گردید. ضریع روی استخوان‌ها برای مشخص شدن برگما (محل اتصالی استخوان‌های آهیانه و پیشانی) با روزین تراشیده شد. با استفاده از مته دندانپزشکی، دو تا سوراخ به قطر یک میلی‌متر در دو طرف برگما و در مختصات $3/4$ تا $3/8$ میلی‌متر به طرف خلف برگما و $2/3$ تا $2/5$ میلی‌متر به دو طرف خط میانی (۲۱) و به منظور بستن پیچ ریز سه تا سوراخ دیگر در استخوان‌های پیشانی و آهیانه ایجاد گردید. کانول استانلیس استیل شماره 23 و به طول 12 میلی‌متر به محور عمودی دستگاه متصل و از سطح سوراخ استخوان جمجمه تا عمق $2/5$ تا $2/7$ میلی‌متری مغز در داخل هیپوکامپ پشتی (ناحیه CA1) قرار داده شد (۲۱). دور کانول‌ها و پیچ‌ها با سیمان دندانپزشکی پرشد. دو عدد سیم استانلیس استیل هم قطر با قطر داخلی کانول‌های راهنمای راهنمای به عنوان استایلت (stylet) در داخل کانول‌ها قرار داده شدند. پس از بخیه زدن پوست، به حیوانات مقدار 10000 mg/kg پنی سیلین جی پتانسیم به روش داخل عضلانی تزریق شد. تا قبل از شروع تزریقات داخل هیپوکامپی، یک دوره استراحت 14 روزه به حیوانات داده شد.

۴- روش تزریق به داخل هیپوکامپ پشتی

برای تزریق داخل هیپوکامپی سالین نرمال (کنترل)، هیستامین ($1/5, 2/5, 1/1, 2/2, 2/5, 5/5, 0/0, 2/25, 0/25$ میکروگرم)، تیوپرامید ($0/75, 0/1, 0/25, 0/5, 0/25$ میکروگرم) قبل از هیستامین ($0/25$ میکروگرم) و تیوپرامید ($0/25$ میکروگرم) قبل از هیستامین (1 میکروگرم)، یک طرف یک لوله پلی اتیلنی به طول 30 سانتی‌متر به سرسوزن تزریقی شماره 28 و سر دیگر آن به سرنگ هامیلتون 5 میکرولیتری متصل شد. استایلت‌ها از داخل کانول‌های راهنمای برداشته شدند. سرسوزن تزریقی شماره 28 در داخل کانول راهنمای قرارداده شد. هر کدام از محلول‌های دارویی به حجم $0/5$ میکرولیتر در مدت زمان 60 ثانیه در هردو هیپوکامپ (راست و چپ) تزریق شد. به منظور انتشار محلول دارویی در هیپوکامپ، 60 ثانیه دیگر سر سوزن در داخل کانول ماند. تزریق داخل هیپوکامپی هیستامین و تیوپرامید به ترتیب 5 و 10 دقیقه قبل از ایجاد درد انجام شد. مقادیر استفاده شده از هیستامین و تیوپرامید در مطالعه حاضر نزدیک به مقادیری هستند که سایر محققین استفاده کرده‌اند (۲۲، ۲۳).

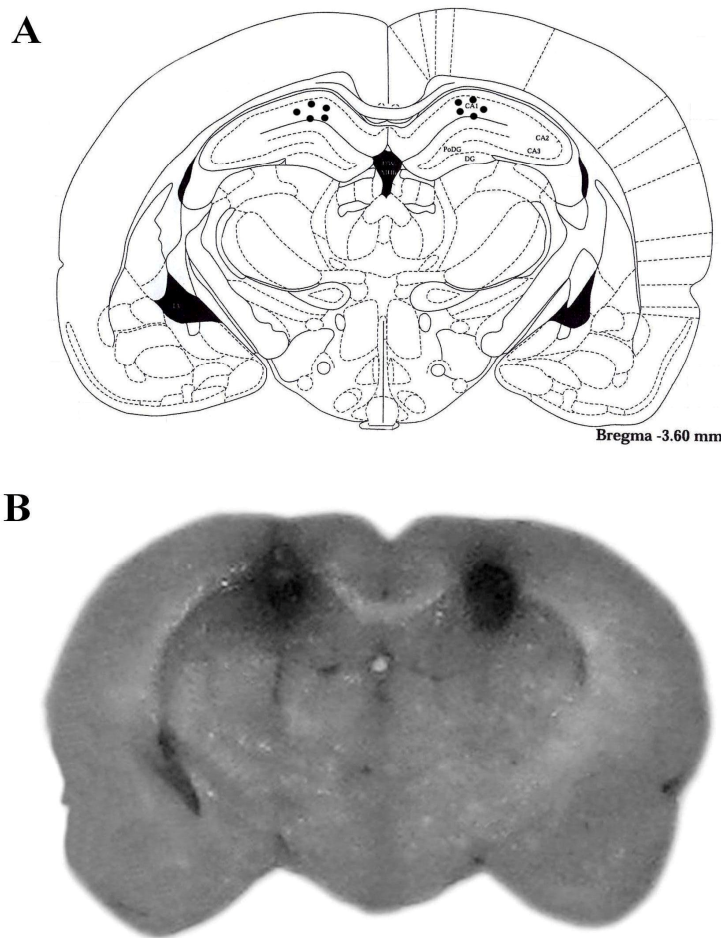
۵- روش ایجاد و ثبت درد ناحیه دهانی - صورتی

سپس آزمون دانکن تجزیه و تحلیل شدند. در نمونهای دادهای به صورت $\text{mean} \pm \text{SEM}$ آورده شده‌اند. سطح معنی‌دار، $p < 0.05$ در نظر گرفته شد.

یافته‌ها

نتایج مربوط به صحت محل کانول‌ها در شکل شماره ۱ نشان داده شده است. شکل شماره ۱- A از اطلس مغز موش صحرایی

(شکل شماره ۱- A, B).



شکل شماره (۱): مقاطع عرضی از مغز موش صحرایی. شکل (A) از اطلس Paxinos and Watson (۲۱) اقتباس شده است و محل‌های تزریق داخل هیپوکامپی را که با دایره‌های توپر مشخص شده اند را نشان می‌دهد. شکل (B) محل تزریق داخل هیپوکامپی با تزریق متیلن بلو مشخص شده است. CA1, CA2, CA3: بخش‌های مختلف هیپوکامپ. DG: بر جستگی دندانه‌دار

چهارم تا دوازدهم و در سه دقیقه چهاردهم در مقایسه با سالین نرمال شد. در بین سه دقیقه‌های گروه دریافت کننده فرمالین، اختلاف معنی‌دار ($p < 0.05$) بین فواصل زمانی سه دقیقه‌ای اول و ششم تا یازدهم با فواصل زمانی سه دقیقه‌ای دوم تا پنجم و دوازدهم تا پانزدهم شد. به عبارت دیگر تزریق زیرجلدی فرمالین به لب بالا یک درد دو مرحله‌ای ایجاد کرد که مرحله اول آن بلا فاصله

نمودار شماره ۱ منحنی‌های مربوط به پاسخ درد را پس از تزریق زیرجلدی سالین نرمال (کنترل) و فرمالین به سمت راست لب بالا نشان می‌دهد. تزریق زیرجلدی سالین نرمال به لب بالا یک پاسخ بسیار ضعیفی از مالیدن ناحیه تزریق شده در سه دقیقه اول پس از تزریق ایجاد کرد. تزریق زیرجلدی فرمالین در لب بالا موجب ایجاد پاسخ درد در سه دقیقه اول و در سه دقیقه‌های

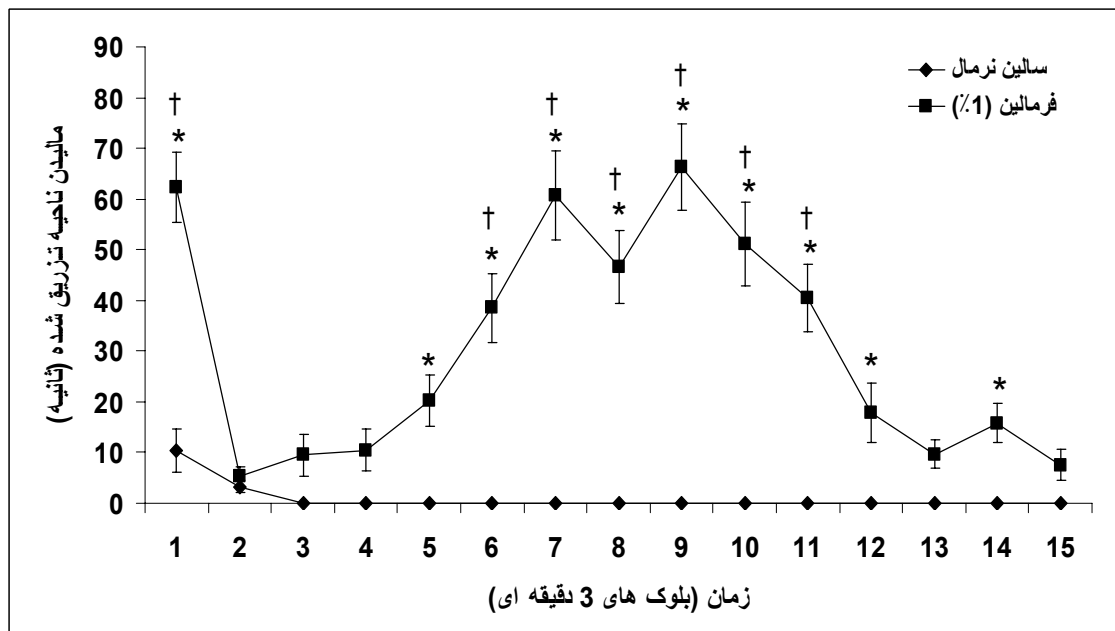
میکروگرم، تیوپرامید به طور معنی دار ($p < 0.05$) مدت زمان مالیدن ناحیه تزریق شده را در مرحله اول کاهش داد. مرحله دوم درد دهانی - صورتی ناشی از فرمالین با تزریق داخل هیپوکامپی تیوپرامید در مقادیر ۱، ۲/۵ و ۵ میکروگرم، ولی نه در مقدار ۰/۷۵ میکروگرم، به طور معنی دار ($p < 0.05$) کاهش یافت (نمودار شماره ۳).

نمودار شماره ۴ اثر پیش تزریق داخل هیپوکامپی تیوپرامید و هیستامین رابر مراحل درد دهانی - صورتی ناشی از فرمالین نشان می دهد. تزریق داخل هیپوکامپی تیوپرامید (۰/۷۵ میکروگرم) قبل از هیستامین (۲/۵ میکروگرم) در مقایسه با سالین نرمال، تیوپرامید (۰/۷۵ میکروگرم) به تنها ی و هیستامین (۰/۲۵ میکروگرم) به تنها ی، بدون اثر بر شدت درد مرحله اول، شدت درد مرحله دوم را کاهش داد. تزریق داخل هیپوکامپی تیوپرامید (۰/۲۵ میکروگرم) قبل از هیستامین (۱ میکروگرم) در مقایسه با سالین نرمال، تیوپرامید (۰/۲۵ میکروگرم) به تنها ی و هیستامین (۱ میکروگرم) به تنها ی موجب کاهش شدت درد هم در مرحله اول و هم در مرحله دوم شد. (نمودار شماره ۴).

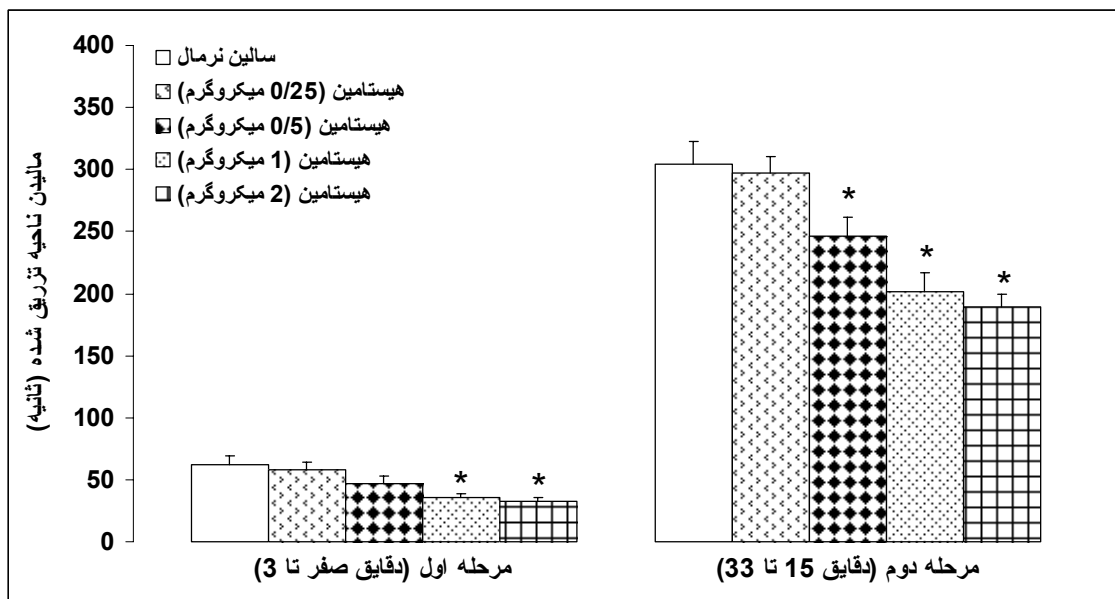
پس از تزریق شروع و به مدت سه دقیقه ادامه یافت. مرحله دوم از دقیقه ۱۵ شروع و به مدت ۱۸ دقیقه تا پایان دقیقه ۳۳ ادامه یافت.

نمودار شماره ۲ اثر تزریق داخل هیپوکامپی هیستامین بر مراحل درد دهانی - صورتی ناشی از فرمالین را نشان می دهد. هیستامین در مقادیر ۰/۲۵ و ۰/۵ میکروگرم اثر معنی داری بر مرحله اول درد ایجاد نکرد، در حالی که در مقادیر ۱ و ۲ میکروگرم، هیستامین به طور معنی دار ($p < 0.05$) مدت زمان مالیدن ناحیه تزریق شده را در مرحله اول کاهش داد. مرحله دوم درد دهانی - صورتی ناشی از فرمالین با تزریق داخل هیپوکامپی هیستامین در مقادیر ۰/۵ و ۰/۲۵ میکروگرم، ولی نه در مقدار ۰/۷۵ میکروگرم به طور معنی دار ($p < 0.05$) کاهش یافت (نمودار شماره ۲).

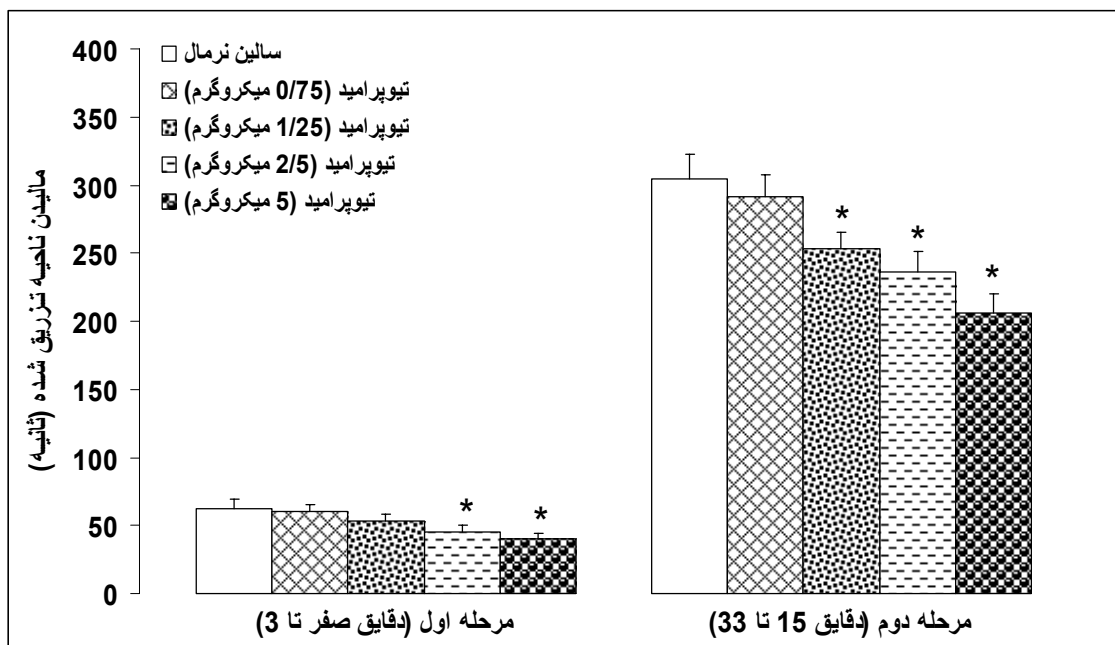
نمودار شماره ۳ اثر تزریق داخل هیپوکامپی تیوپرامید بر مراحل درد دهانی - صورتی ناشی از فرمالین را نشان می دهد. تیوپرامید در مقادیر ۰/۷۵ و ۱/۲۵ میکروگرم اثر معنی داری بر مرحله اول درد ایجاد نکرد، در حالی که در مقادیر ۰/۵ و ۰/۲۵ میکروگرم به طور معنی دار ($p < 0.05$) کاهش یافت.



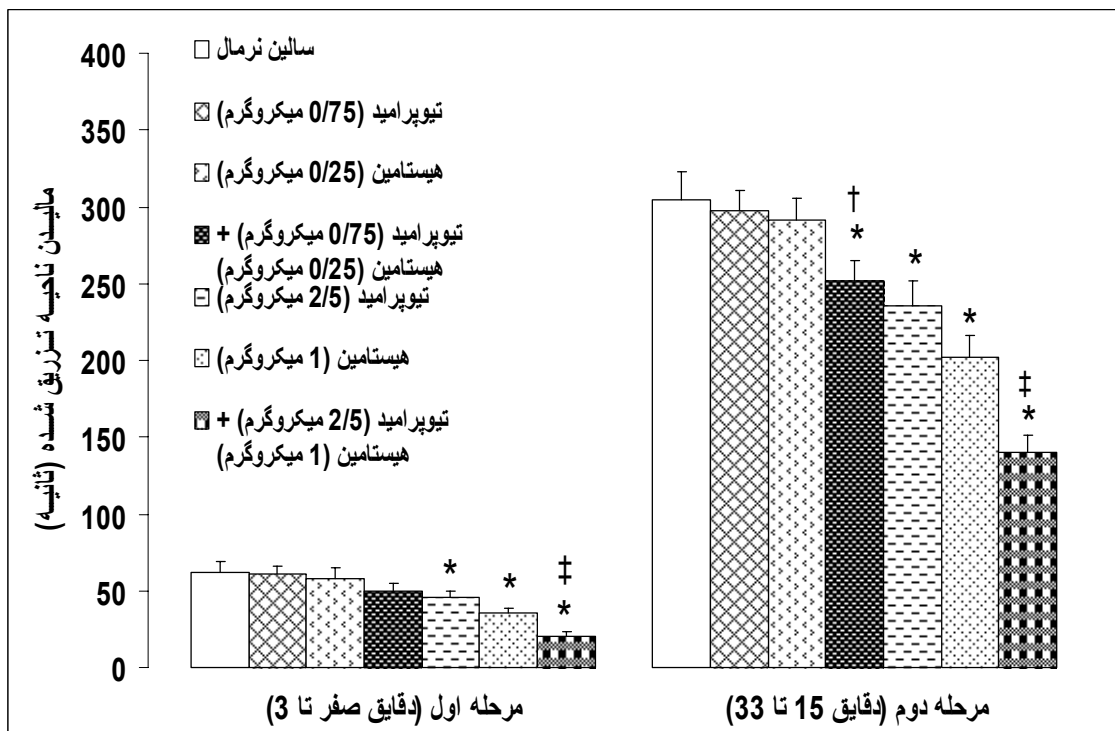
نمودار شماره (۱): پاسخ درد ایجاد شده متعاقب تزریق زیرجلدی سالین نرمال و فرمالین به لب بالا در موش صحرابی. داده ها به صورت $\text{mean} \pm \text{SEM}$ ارائه شده اند. تعداد موش در هر گروه شش سر می باشد. $*: p < 0.05$ در مقایسه با گروه دریافت کننده سالین نرمال اختلاف معنی دار است. $†: p < 0.05$ در مقایسه با سایر سه دقیقه ها اختلاف معنی دار است.



نمودار شماره (۲): اثر تزریق داخل هیپوکامپی هیستامین بر پاسخ درد ناشی از تزریق فرمالین به لب بالا در موش صحرایی.
داده‌ها به صورت $\text{mean} \pm \text{SEM}$ ارائه شده‌اند. تعداد موش در هر گروه شش سر می‌باشد. $p < 0.05$: در مقایسه با گروه دریافت کننده سالین نرمال اختلاف معنی‌دار است.



نمودار شماره (۳): اثر تزریق داخل هیپوکامپی تیوپرامید بر پاسخ درد ناشی از تزریق فرمالین به لب بالا در موش صحرایی.
داده‌ها به صورت $\text{mean} \pm \text{SEM}$ ارائه شده‌اند. تعداد موش در هر گروه شش سر می‌باشد. $p < 0.05$: در مقایسه با گروه دریافت کننده سالین نرمال اختلاف معنی‌دار است.



نمودار شماره (۴): اثر پیش تزریق داخل هیپوکامپی تیوبرامید بر کاهش درد ناشی از تزریق داخل هیپوکامپی هیستامین در درد ناشی از تزریق فرمالین به لب بالا در موس صحرایی.

داده‌ها به صورت $\text{mean} \pm \text{SEM}$ ارائه شده‌اند. تعداد موس در هر گروه شش سر می‌باشد. $*: p < 0.05$, $\dagger: p < 0.01$, $\ddagger: p < 0.001$: در مقایسه با گروه دریافت کننده سالین نرمال اختلاف معنی‌دار است. $\wedge: p < 0.05$: در مقایسه با تیوبرامید (۰/۷۵ میکروگرم) و هیستامین (۰/۲۵ میکروگرم) اختلاف معنی‌دار است. $\wedge\wedge: p < 0.05$: در مقایسه با تیوبرامید (۰/۲۵ میکروگرم) و هیستامین (۱ میکروگرم) اختلاف معنی‌دار است.

صحرایی گزارش شده‌اند (۲۴-۲۶). به هر حال مالیدن ناحیه تزریق شده به وسیله اندام حرکتی قدمی همان سمت به عنوان یک رفتار اختصاصی بیان کننده درد ناشی از تزریق فرمالین به لب و بالشتک سبیل در موس‌های صحرایی محسوب شده است (۲۴).

در مطالعه حاضر تزریق داخل هیپوکامپی هیستامین موجب کاهش هر دو مرحله اول و دوم درد ناشی از تزریق فرمالین به لب بالا شد. در خارج از مفز و در بافت‌های محیطی و همچنین در نخاع، هیستامین در فرآیندهای مربوط به ایجاد و انتقال درد شرکت می‌کند (۲۷-۲۹). در همین رابطه گزارش شده است که هیستامین در ایجاد و انتقال درد مفصل گیجگاهی - فکی دارای نقش می‌باشد (۳۰). در داخل مغز، جسم سلولی نورون‌های هیستامین‌زیک در هسته توبرومامیلاری هیپوتalamوس قراردارند و آکسون‌هایی را به همه نقاط مغز از جمله هیپوکامپ می‌فرستند (۳۱). یکی از مهم‌ترین نقش‌های هیستامین در هیپوکامپ دخالت در فرآیندهای یادگیری و حافظه است (۷، ۸). به دلیل این که هیستامین از سد خونی - مفزی عبور نمی‌کند (۳۱)، در این

بحث و نتیجه گیری

نتایج مطالعه حاضر نشان دادند که تزریق زبرجلدی فرمالین در لب بالا یک پاسخ دومرحله‌ای از مالیدن ناحیه تزریق شده را ایجاد کرد. از محلول‌های رقیق فرمالین (۰/۲ تا ۱۰ درصد) به عنوان یک ماده دردآور به منظور بررسی مکانیسم‌های دردتونیک با تزریق به نواحی مختلف بدن به ویژه کف پا و ناحیه صورت به کرات استفاده و رفتارهای درد را به صورت دو مرحله‌ای با یک مرحله سکون (اینترفاز) بین دومرحله گزارش کرده‌اند (۲۴-۲۶). معتقدند که مرحله اول با تحریک مستقیم گیرنده‌های درد و مرحله دوم به علت اثر انواع مختلف میانجی‌های التهابی و متعاقباً انتقال پیام‌های درد به نخاع و مراکز مغزی ایجاد می‌شوند (۲۴، ۲۶). مالیدن ناحیه تزریق شده با اندام حرکتی قدمی همان سمت، نظافت کردن یک طرف صورت (طرف تزریق شده) و خاراندن صورت با اندام حرکتی خلفی همان سمت از جمله رفتارهایی هستند که به دنبال تحريكات الکتریکی، حرارتی و شیمیایی (فرمالین و کاپسایسین) ناحیه دهانی - صورتی موس‌های

نوروترونسمیتیری مثل کولینرژیک، گابا ارژیک، سروتونرژیک و گلوتاماترژیک، گیرنده H₃ هیستامین به عنوان هترورسپتور عمل کرده و در تحریک یا مهار آزاد شدن سایر میانجی‌های عصبی مانند استیل کولین، سروتونین دخالت می‌کند (۷،۸). بر این اساس این احتمال وجود دارد که در مطالعه حاضر کاهش درد ناشی از تزریق داخل هیپوکامپی تیوپرامید با افزایش دادن هیستامین و یا سایر میانجی‌ها ارتباط داشته باشد. چون فعال کردن سیستم‌های کولینرژیک، گابا ارژیک در هیپوکامپ موجب کاهش درد شده است (۶). از طرف دیگر در مطالعه حاضر تیوپرامید موجب افزایش اثر کاهش دهنده هیستامین هیپوکامپی بر درد شده است که این خود تاییدی است بر اینکه هیستامین درون زاد مغز از طریق گیرنده H₃ در پذیرش درد می‌تواند نقش داشته باشد. البته باید متذکر شد که با فعال کردن و یا مهار کردن گیرنده H₃ در بافت‌های محیطی و در سطح نخاع اثرات معکوس با نتایج مطالعه حاضر گزارش شده است (۴۰، ۴۱). دلایل این تناقض به این صورت مطرح شده‌اند که هیستامین آزاد شده ناشی از مهار گیرنده H₃ محیطی هیستامین، خود موجب تحریک گیرنده‌های درد می‌شود چون دخالت هیستامین موضعی در ایجاد درد فرمالینی در کف پا و ناحیه دهانی - صورتی مشخص شده است (۳۰، ۴۲). همچنین هیستامین آزاد شده می‌تواند با فعال کردن پیتیدهای ایجاد کننده درد مثل ماده P در افزایش درد شرکت نماید (۴۱). از طرف دیگر در مغز به دنبال تزریق داخل بطنی مغزی تیوپرامید و آر-آلfa متیل هیستامین به ترتیب اثرات کاهش و افزایش دهنده درد گزارش شده است (۱۱). در همین رابطه تزریق تیوپرامید به داخل بر جستگی دندانه دار، باعث کاهش شدت هر دو مرحله اول و دوم درد ناشی از تزریق کف پائی فرمالین در مosh صحرایی شده است و اثر کاهش دهنده درد حاصل از تزریق هیستامین به داخل بر جستگی دندانه دار را افزایش داده است (۲۳).

به طور کلی، بر اساس یافته‌های مطالعه حاضر می‌توان چنین نتیجه‌گیری نمود که فعال کردن هیستامین درون زاد با تزریق داخل هیپوکامپی هیستامین، موجب کاهش درد تونیک ناحیه دهانی - صورتی می‌شود. به عبارت دیگر هیستامین هیپوکامپی از طریق گیرنده‌های H₃ در تغییر دریافت درد می‌تواند دخالت نماید.

مطالعه از تزریق داخل هیپوکامپی آن استفاده شده است. البته در اکثر مطالعات مربوط به نقش هیستامین مغزی در فرآیندهای درد از روش‌های تزریق به داخل بطن‌های مغز و یا تزریق به هسته‌های درگیر در روندهای درد بهره جسته‌اند. تزریق داخل بطنی - مغزی هیستامین موجب کاهش پاسخ درد ناشی از فرمالین در مosh سفید کوچک آزمایشگاهی، مosh صحرایی و خرگوش شده است (۳۲-۳۴). همچنین در آزمون درد احتشای ناشی از اسید استیک، تزریق داخل بطنی - مغزی هیستامین تعداد انقباضات دیواره شکم را کاهش داده است (۳۵). به علاوه، تزریق مرکزی هیستامین موجب کاهش پاسخ درد ناشی از چکاندن محلول سالین هیپرتونیک به سطح قرنیه در Mosh صحرایی شده است (۱۰).

تزریق هیستامین به داخل ناحیه خاکستری دورقفات سیلوبوس، هسته راف و برجستگی دندانه دار، شدت درد را در آزمون‌های درد حاد و تونیک کاهش داده است (۹، ۲۳). همه این یافته‌ها مبنی این نکته هستند که با فعال کردن هیستامین مغزی، پاسخ‌های درد کاهش می‌یابند.

در تحقیق حاضر، تزریق داخل هیپوکامپی تیوپرامید نه تنها موجب کاهش درد شد بلکه کاهش درد ناشی از هیستامین را هم افزایش داد. این موضوع نشان می‌دهد که گیرنده H₃ هیستامین در عمل کاهش دهنده درد هیستامین هیپوکامپی می‌تواند دخالت کند. تیوپرامید توانایی عمل از طریق گیرنده‌های H₃ و H₄ با تمایل عمل بیشتر بر گیرنده H₃ را دارد (۳۶) ولی به علت این که گیرنده H₄ و زن بیان کننده آن در هیپوکامپ Mosh صحرایی یافت نشده است (۳۷) می‌توان گفت که اثر مشاهده شده از تیوپرامید در Mطالعه حاضر ناشی از مهار کردن گیرنده H₃ است. گیرنده H₃ هیستامین در هیپوکامپ منتشر است و در یادگیری و حافظه و تهییج مغز نقش دارد (۳۸، ۳۹). گیرنده H₃ هیستامین در انتهای آکسونی نورون‌های هیستامینرژیک به عنوان اتورسپتور عمل کرده و فعال کردن این گیرنده با ایمپیپ^۱، ایمیتیت^۲ و آر-آلfa متیل هیستامین (آگونیست‌های گیرنده H₃ هیستامین) یا مهار کردن این گیرنده با تیوپرامید، سیپروکسیفان^۳ و کلوبن پروپیت^۴ (آناتاگونیست‌های گیرنده H₃ هیستامین) به ترتیب موجب کاهش و افزایش آزاد شدن هیستامین در سیناپس‌های هیستامینرژیک می‌شود (۷، ۸). همچنین در انتهای عصبی سایر سیستم‌های

¹ immeppip² imetit³ ciproxifan⁴ clobenpropit

References

1. Lathe R. Hormones and the hippocampus. *J Endocrinol* 2001; 169(2): 205-31.
2. Bird CM, Burgess N. The hippocampus and memory: insights from spatial processing. *Nat Rev Neurosci* 2008; 9(3): 182-94.
3. Davidson TL, Kanoski SE, Schier LA, Clegg DJ, Benotti SC. A potential role for the hippocampus in energy intake and body weight regulation. *Curr Opin Pharmacol* 2007; 7(6): 613-6.
4. Soleimannejad E, Naghdi N, Semnanian S, Fathollahi Y, Kazemnejad A. Antinociceptive effect of intra-hippocampal CA1 and dentate gyrus injection of MK801 and AP5 in the formalin test in adult male rats. *Eur J Pharmacol* 2007; 562(1-2): 39-46.
5. Yang XF, Xiao Y, Xu MY. Both endogenous and exogenous ACh plays antinociceptive role in the hippocampus CA1 of rats. *J Neural Transm* 2008; 115(1): 1-6.
6. Favaroni-Mendes LA, Menescal-de-Oliveira L. Role of cholinergic, opioidergic and GABAergic neurotransmission of the dorsal hippocampus in the modulation of nociception in guinea pigs. *Life Sci* 2008; 83(19-20): 644-50.
7. Brown RE, Stevens DR, Haas HL. The physiology of brain histamine. *Prog Neurobiol* 2001; 63(6): 637-72.
8. Haas HL, Sergeeva OA, Selbach O. Histamine in the nervous system. *Physiol Rev* 2008; 88(3): 1183-241.
9. Thoburn KK, Hough LB, Nalwalk JW, Mischler SA. Histamine-induced modulation of nociceptive responses. *Pain* 1994; 58(1): 29-37.
10. Tamaddonfar E, Khalilzadeh E, Hamzeh-Gooshchi N, Seiednejhad-Yamchi S. Central effect of histamine in a rat model of acute trigeminal pain. *Pharmacol Rep* 2008; 60(2): 219-24.
11. Malmberg-Aiello P, Lamberti C, Ghelardini C, Giotti A, Bartolini A. Role of histamine in rodent antinociception. *Br J Pharmacol* 1994; 111(4): 1269-79.
12. Takemura M, Sugiyo S, Moritani M, Kobayashi M, Yonehara N. Mechanisms of orofacial pain control in the central nervous system. *Arch Histol Cytol* 2006; 69(2): 79-100.
13. Tenenbaum HC, Mock D, Gordon AS, Goldberg MB, Grossi ML, Locker D, et al. Sensory and affective components of orofacial pain: is it all in your brain? *Crit Rev Oral Biol Med* 2004; 12(6): 455-68.
14. Sessle BJ. Peripheral and central mechanisms of orofacial pain and their clinical correlates. *Minerva Anestesiol* 2005; 71(4): 117-36.
15. Sinha R, Sharma R, Mathur R, Nayar U. Hypothalamo-limbic involvement in modulation of tooth-pulp stimulation evoked nociceptive response in rats. *Indian J Physiol Pharmacol* 1999; 43(3): 323-31.
16. Clavelou P, Pajot J, Dallez R, Raboisson P. Application of the formalin test to the study of orofacial pain in the rat. *Neurosci Lett* 1989; 103(3): 349-53.
17. Clavelou P, Dallez R, Orliaquest T, Woda A, Raboisson P. The orofacial formalin test in rats: effects of different formalin concentrations. *Pain* 1995; 62(3): 295-301.
18. Ahn DK, Lee KR, Lee HJ, Kim SK, Choi HS, Lim EJ, et al. Intracisternal administration of chemokines facilitated formalin-induced behavioral response in the orofacial area of freely moving rats. *Brain Res Bull* 2005; 66(1): 50-8.
19. Choi HS, Lee HJ, Jung CY, Ju JS, Park JS, Ahn DK. Central cyclooxygenase-2 participates in interleukin-1 beta-induced hyperalgesia in the orofacial formalin test of freely moving rats. *Neurosci Lett* 2003; 352(3): 187-90.

20. Duale C, Sierralta F, Dallel R. Analgesia induced by morphine microinjected into the nucleus raphe magnus: effect on tonic pain. *Curr Drug Deliv* 2007; 4(3): 181-4.
21. Paxinos G, Watson C. The rat brain in stereotaxic coordinates. Compact 3rd Ed. San Diego: Academic Press; 1997.
22. Yu C, Shen Y, Xu L, Zhu Y, Zhuge Z, Huang Y, et al. Effect of endogenous histamine in the ventral hippocampus on fear memory deficits induced by scopolamine as evaluated by step-through avoidance response in rats. *Physiol Behav* 2006; 87(4): 687-93.
23. Khalilzadeh E, Tamaddonfard E, Farshid AA, Erfanparast A. Microinjection of histamine into the dentate gyrus produces antinociception in the formalin test in rats. *Pharmacol Biochem Behav* 2010; 97(2): 325-32.
24. Raboission P, Dallel R. The orofacial formalin test. *Neurosci Biobehav Rev* 2004; 28(2): 219-26.
25. Erfanparasrt A, Tamaddonfard E, Farshid AA, Khalilzadeh E. Antinociceptive effect of morphine microinjections into the dorsal hippocampus in the formalin-induced orofacial pain in rats. *Vet Res Forum* 2010; 1(2): 83-9.
26. Tjolsen A, Berge OG, Hunskaar S, Rosland GH, Hole K. The formalin test: an evaluation of the method. *Pain* 1992; 51(1): 5-17.
27. Hong Y, Abbott FV. Behavioral effects of intraplantar injection of inflammatory mediators in the rat. *Neuroscience* 1994; 63(3): 827-36.
28. Sakurada S, Orito T, Furuta S, Watanabe H, Mobarake JI, Yanai K, et al. Intrathecal histamine induces spinally mediated behavioral responses through tachykinin NK₁ receptors. *Pharmacol Biochem Behavior* 2003; 74 (2): 487-93.
29. Tamaddonfard E, Erfanparast A. The effects of intraperitoneal injection of vitamin C on the pain and edema induced by formalin and histamine in rats. *Iran Vet J* 2009; 5(1): 15-24. (Persian)
30. Ting E, Roveroni RC, Ferrari LF, Lotufo CM, Veiga MC, Parade CA, et al. Indirect mechanism of histamine-induced nociception in temporomandibular joint of rats. *Life Sci* 2007; 81(9): 765-71.
31. Schwartz JC, Arrang JM, Garbarg M, Pollard H, Rouat M. Histaminergic transmission in the mammalian brain. *Physiol Rev* 1991; 71(1): 1-51.
32. Tamaddonfard E, Rahimi S. Central effect of histamine and peripheral effect of histidine on the formalin-induced pain response in mice. *Clin Exp Pharmacol Physiol* 2004; 31(8): 518-22.
33. Mojtabahedin A, Tamaddonfard E, Zanbouri A. Antinociception induced by central administration of histamine in the formalin test in rats. *Indian J Physiol Pharmacol* 2008; 52(3): 249-54.
34. Tamaddonfard E. Central effect of exogenous histamine on pain induced by sub-plantar injection of formalin in rabbits. *Vet Res Forum* 2010; 1(1): 1-6.
35. Zanboori A, Tamaddonfard E, Mojtabahedin A. The effect of intracerebroventricular injection of histamine in visceral nociception induced by acetic acid in rats. *Indian J Pharmacol* 2010; 42(5): 289-92.
36. Tiligada E, Zampeli E, Sander K, Stark H. Histamine H₃ and H₄ receptors and novel target drugs. *Expert Opin Investig Drugs* 2009; 18(10): 1519-31.
37. Strakhova MI, Nikkel AL, Manelli AM, Hesieh GC, Esbenshade TA, Brioni JD, et al. Localization of histamine H₄ receptors in the central nervous system of human and rat. *Brain Res* 2009; 1250: 42-8.
38. Pollard H, Moreau J, Arrange JM, Schwartz JC. A detailed autoradiographic mapping of histamine H₃ receptors in rat brain areas. *Neuroscience* 1993; 52(1): 169-89.
39. Hajos M, Siok CJ, Hoffmann WE, Li S, Kocsis B. Modulation of hippocampal theta oscillation by

- histamine H₃ receptors. *J Pharmacol Exp Ther* 2008; 324(10): 391-8.
40. Cannon KE, Leurs R, Hough LB. Activation of peripheral and spinal histamine H₃ receptors inhibits formalin-induced inflammation and nociception, respectively. *Pharmacol Biochem Behav* 2007; 88(1): 122-9.
41. Fernandez-Duenas V, Ciruela F, Gandia J, Sanchez S, Planas E, Poveda R. Histamine H₃ receptor activation potentiates peripheral opioid-mediated antinociception: substance P role in peripheral inflammation in mice. *Eur J Pharmacol* 2010 ; 638(1-3): 72-7.
42. Parada CA, Tambeli CH, Cunha FQ, Ferreira SH. The major role of peripheral release of histamine and 5-hydroxytryptamine in formalin-induced nociception. *Neuroscience* 2001: 102(4); 937-44.